

GENEFUSION BWT

FEATURE EXTRACTION E CLASSIFICAZIONE SU DATI GENOMICI REALI

Un approccio **alignment-free** basato su
Machine Learning

Carmine Calabrese 0522501853

Daniele Dello Russo 0522501766

Prof. Rocco Zaccagnino

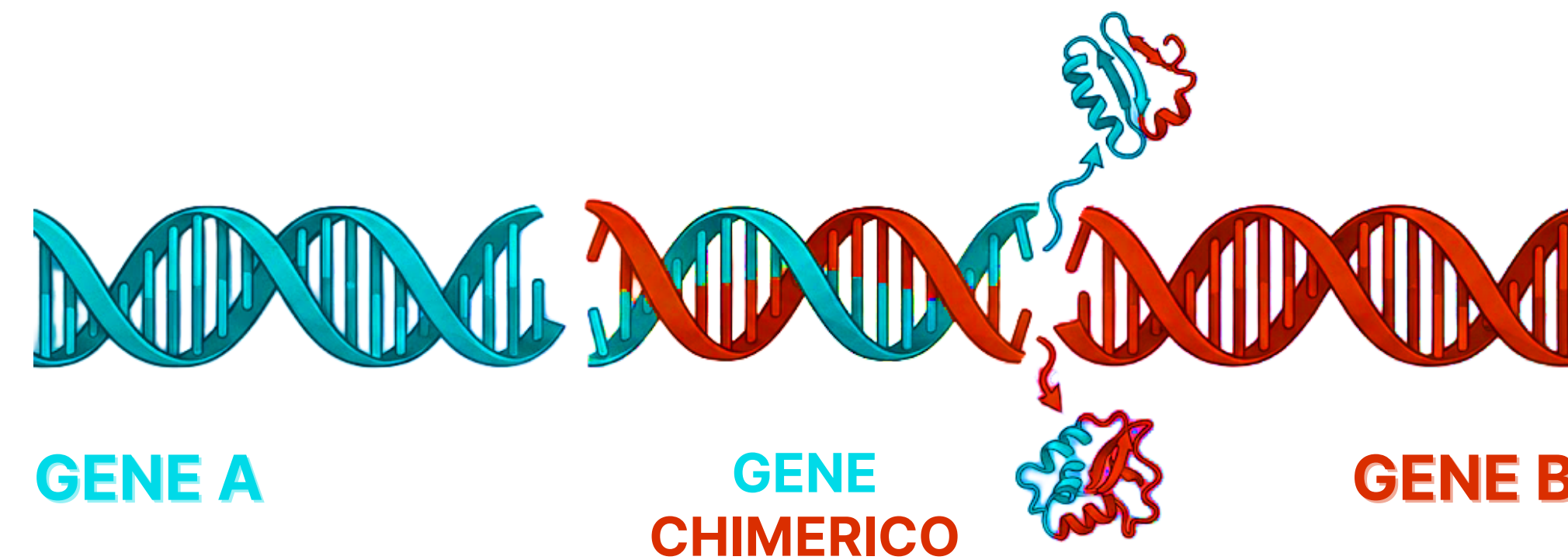


FLaTN²BIO_{lab}

COSA SONO LE FUSIONI GENICHE?

Geni **ibridi** generati dall'unione di due o più geni originari [1]

Driver molecolari della carcinogenesi



[1] MJ Annala et al. "Fusion genes and their discovery using high throughput sequencing." In: Cancer letters 340.2 (2013)

RILEVANZA CLINICA



PRECISIONE DIAGNOSTICA

Marker per confermare sottotipi di cancro

PROGNOSI

Forniscono indicazioni sull'**aggressività** della malattia.

TARGET TERAPEUTICO

Monitoraggio della **risposta** alle cure e delle resistenze.

OBIETTIVO DELLO STUDIO

Creare un classificatore robusto usando la BWT

Sequenza DNA grezza → Trasformazione → Classificazione

Superare i limiti
dell'analisi standard

Utilizzare la **Burrows-Wheeler Transform (BWT)** per far emergere pattern nascosti

Addestrare modelli di
ML per distinguere
Fusion vs Non-Fusion

LA BWT

mississippi\$
ississippi\$m
ssissippi\$mi
sissippi\$mis
issippi\$miss
sippi\$missi
sippi\$missis
ippi\$mississ
ppi\$mississi
pi\$mississip
i\$mississipp
\$mississippi



\$ mississipp i
i \$mississip p
i ppi\$missis s
i ssippi\$mis s
i ssissippi\$ m
m ississippi \$
p i\$mississi p
p pi\$mississ i
s ippi\$missi s
s issippi\$mi s
s sippi\$miss i
s sissippi\$m i

La BWT è una **permutazione reversibile** dei caratteri di una sequenza **S^[2]**



Calcolo della matrice delle **rotazioni cicliche** di S\$



Ordinamento lessicografico
della matrice

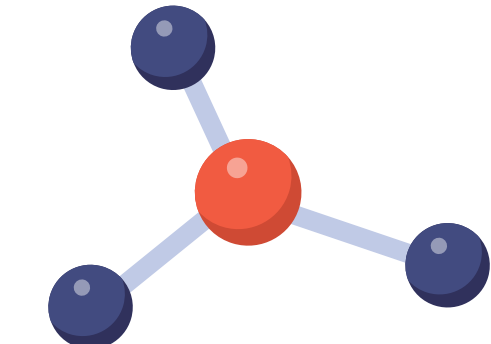
LA BWT

Il risultato della BWT sarà **l'ultima colonna (L)** della matrice ordinata e **l'indice (I)** della riga contenente la stringa che termina per il terminatore \$

mississippi\$
ississippi\$m
ssissippi\$mi
sissippi\$mis
issippi\$miss
sippi\$missi
sippi\$missis
ippi\$mississ
ppi\$mississi
pi\$mississip
i\$mississipp
\$mississippi



\$ mississippi i
i \$mississip p
i ppi\$missis s
i ssippi\$mis s
i ssissippi\$ m
m ississippi \$
p i\$mississi p
p pi\$mississi
sippi\$missi s
s issippi\$mi s
s sippi\$miss i
s sissippi\$mi



VARIANTI BWT

STANDARD BWT

Applicazione dell'algoritmo sulla **sequenza originale**



Catturare le **regolarità** e i **pattern ripetuti** della sequenza principale

REVERSE BWT

Applicazione dell'algoritmo alla **sequenza invertita**



Gestire la **natura a doppio filamento del DNA**, intercettando pattern di fusione indipendenti dall'orientamento di lettura

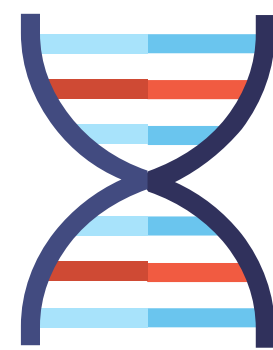
POSITIONAL BWT

Variante che conserva informazioni sulla **posizione originale** dei nucleotidi



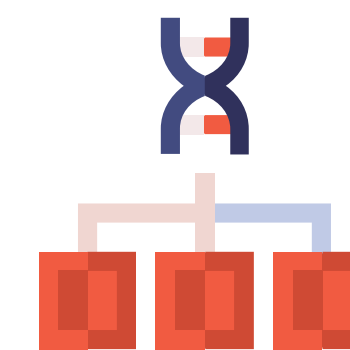
Utilizzata come baseline di confronto per valutare se la **localizzazione spaziale** offrisse vantaggi rispetto all'approccio statistico globale

PIPELINE E DATASET



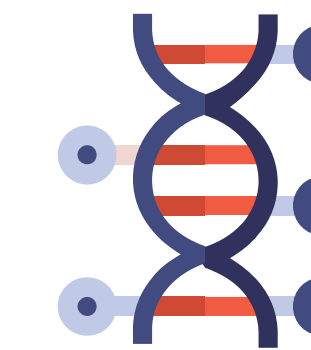
RAW DATA

Dataset reale contenente sequenze *Fusion* e *Non-Fusion*



PREPROCESSING

Rimozione sequenze duplicate



WINDOWING

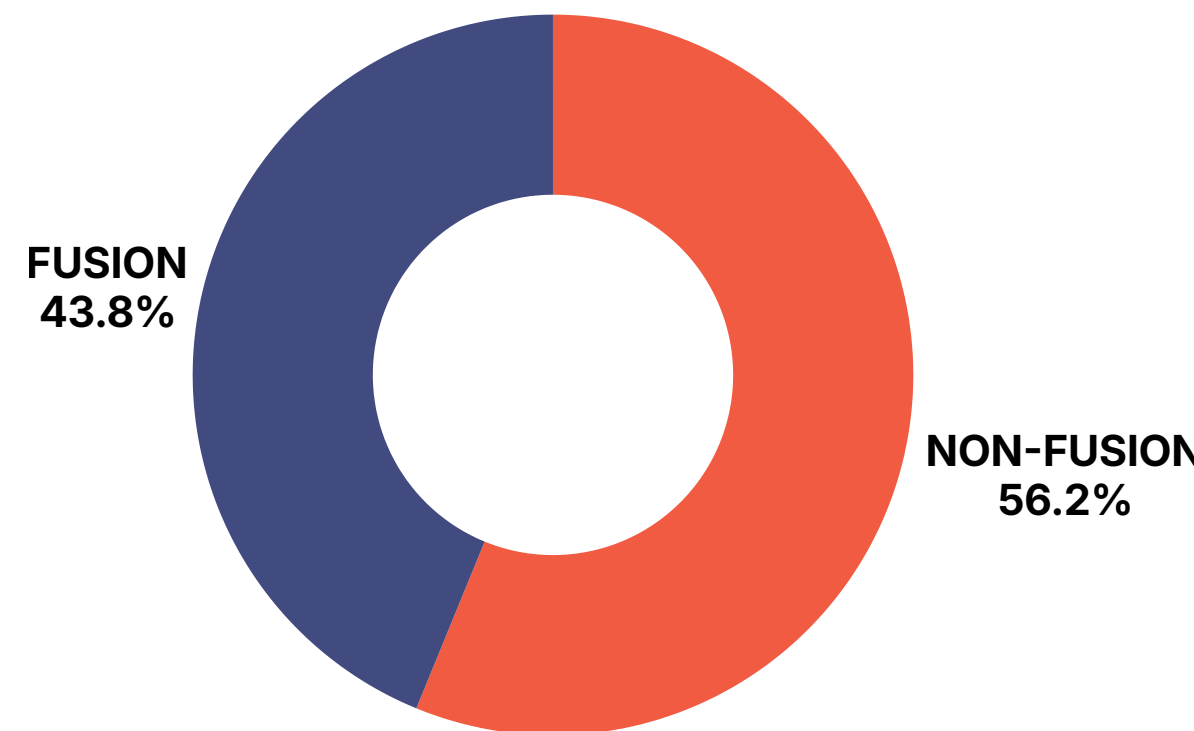
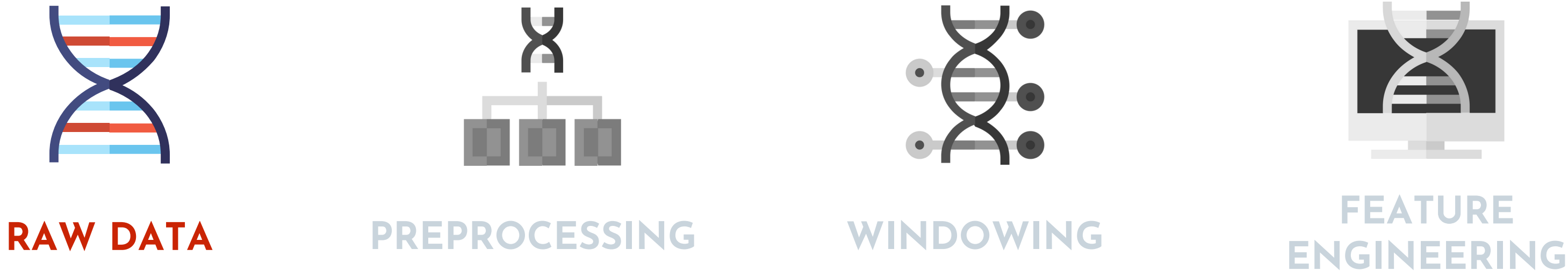
Riduzione lunghezza delle sequenze



FEATURE ENGINEERING

Estrazione delle features dalle sequenze processate

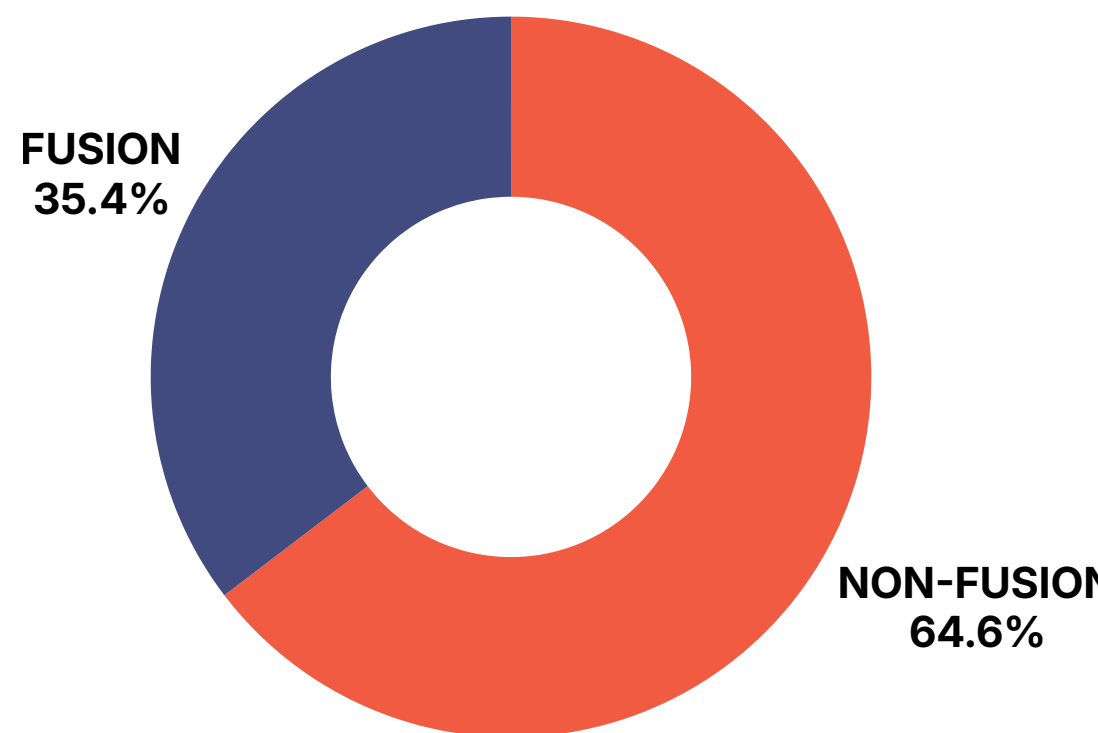
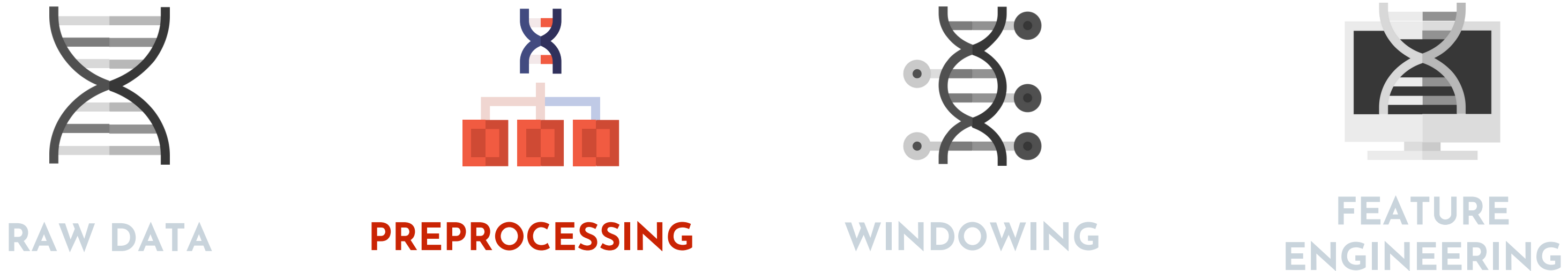
PIPELINE E DATASET



Struttura Dataset

- **sequence**
- **gene1**
- **gene2**
- **junction_point**
- **label**

PIPELINE E DATASET



Rimozione dei **duplicati**

FUSION

116126



81481

NON-FUSION

148954

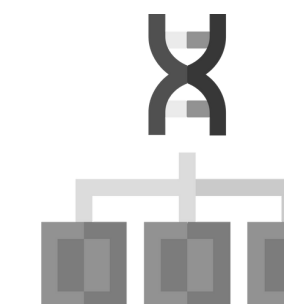


148944

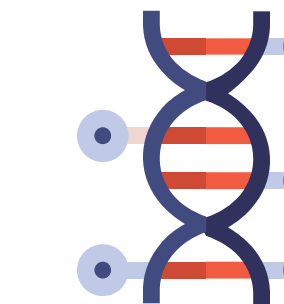
PIPELINE E DATASET



RAW DATA



PREPROCESSING



WINDOWING



FEATURE
ENGINEERING

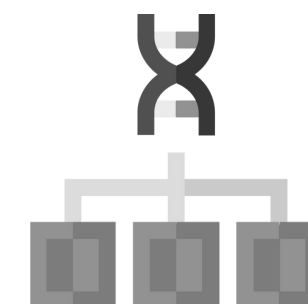
Riduzione della lunghezza delle sequenze a 1000bp

- **Sequenze Fusion:** Finestra centrata sul *junction_point*
- **Sequenze Non-Fusion:** Finestra centrata su un *punto casuale*
- **Gestione bordi**

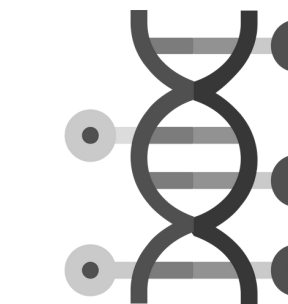
PIPELINE E DATASET



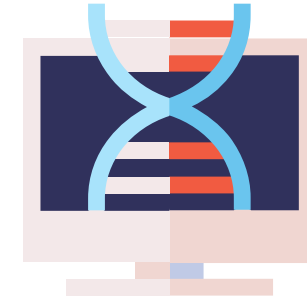
RAW DATA



PREPROCESSING



WINDOWING



FEATURE
ENGINEERING

Estrazione delle features in quattro gruppi

Statistiche di base

GC-Content
Entropia Shannon

Caratteristiche strutturali BWT

Entropia BWT
Run-Lengths
Compression Ratio

Analisi Bio-Linguistica

KL-Divergence
Stop Codon Ratio

Features Ensemble

Gruppo ibrido di features

MODELLI DI CLASSIFICAZIONE



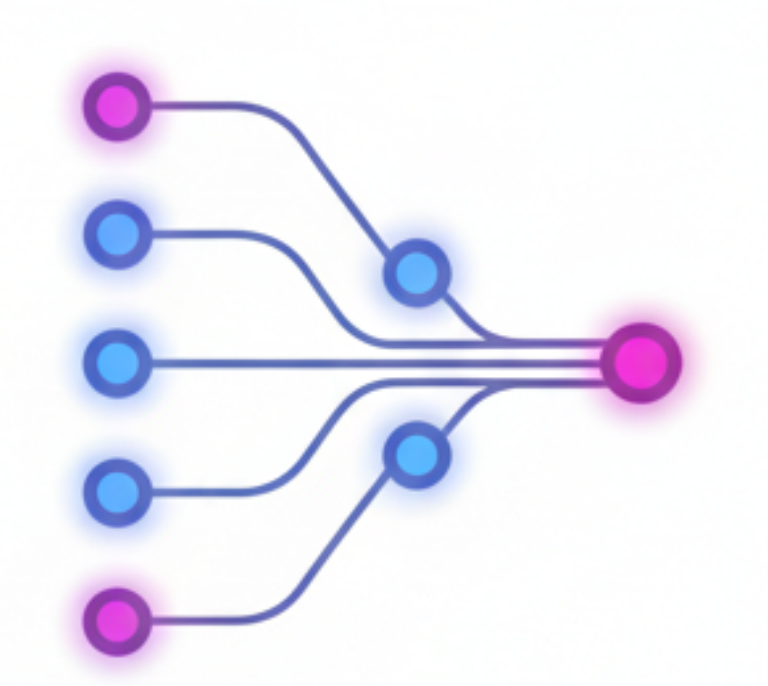
Random Forest
(RF)

Molti alberi
decisionali, alta
stabilità



XGBoost
(XGB)

Boosting veloce,
massime
performance



Multilayer Perceptron
(MLP)

Architettura a
strati per pattern
complessi

METRICHE DI VALUTAZIONE

Accuracy

Misura la percentuale complessiva di predizioni corrette (sia Fusioni che Normali) rispetto al totale dei campioni analizzati.

Precision

Indica l'affidabilità delle predizioni positive

Recall

Misura la capacità del modello di individuare tutti i casi positivi

F1-Score

La media armonica tra Precision e Recall

STATISTICHE DI BASE

Features ricavate dalle **sequenze originali**

GC-Content

Rappresenta la percentuale di basi **G** e **C** presenti nella sequenza.

Shannon Entropy

Misura il grado di **incertezza** o **disordine** dell'informazione nella sequenza originale.

STATISTICHE DI BASE

GC-Content

Shannon Entropy

	ACCURACY	PRECISION	RECALL	F1-SCORE
RF	0.7967	0.6997	0.7445	0.7214
XG-BOOST	0.5917	0.4508	0.7084	0.5510
MLP	0.6464	0.0000	0.0000	0.0000

CARATTERISTICHE STRUTTURALI BWT

Features ricavate dalle **sequenze processate** con la BWT

Shannon Entropy

- Entropia di Shannon calcolata sulle sequenze processato

Run Lengths

Analisi della lunghezza delle **sequenze con caratteri identici**

Compression Ratio

Rapporto di compressione della stringa BWT.



MIN MAX MEAN

CARATTERISTICHE STRUTTURALI BWT

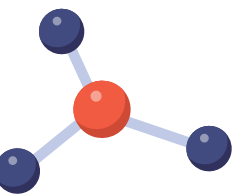
Shannon Entropy

Run Lengths

Compression Ratio

	ACCURACY	PRECISION	RECALL	F1-SCORE
RF	0.8415	0.7981	0.7387	0.7672
XG-BOOST	0.6320	0.4875	0.7921	0.6036
MLP	0.6545	0.5224	0.2674	0.3537

ANALISI BIO-LINGUISTICA



Analisi delle sequenze come un **vocabolario di triplete**

KL Divergence

Misura quanto due **distribuzioni di probabilità** divergono tra loro.

Stop Codon Ratio

Conta la presenza di **segnali di stop prematuri**.

ANALISI BIO-LINGUISTICA

KL Divergence

Codon Stop Ratio

	ACCURACY	PRECISION	RECALL	F1-SCORE
RF	0.8096	0.7120	0.7749	0.7421
XG-BOOST	0.6334	0.4876	0.7210	0.5818
MLP	0.6483	0.5211	0.0683	0.1208

FEATURES ENSEMBLE

Gruppo ibrido di features contenente le
features più significative calcolate in
precedenza

GC-Content

Entropia BWT

Run Lengths

MIN MAX MEAN

Compression Ratio

KL-Divergence

Stop Codon Ratio

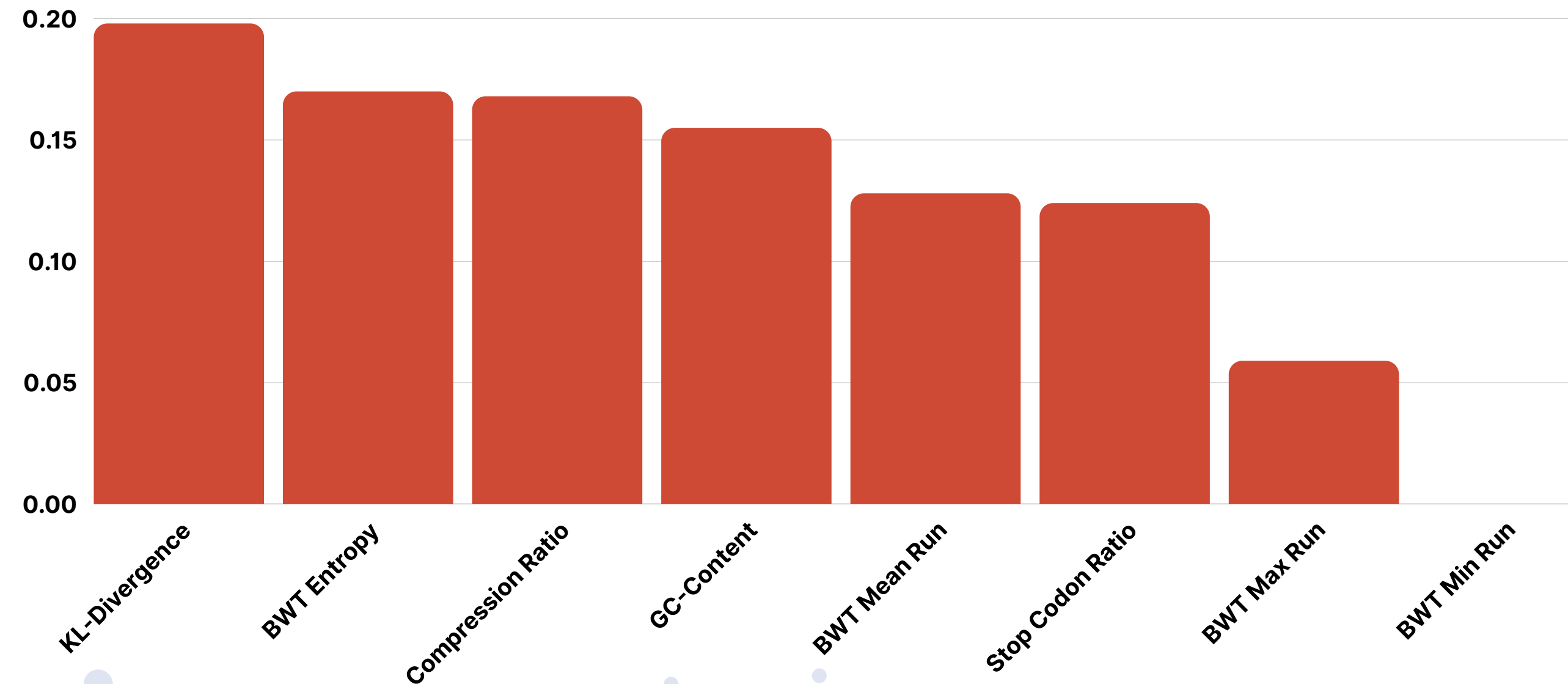
FEATURES ENSEMBLE

GC-Content
Compression Ratio Entropia BWT
KL-Divergence Run Lengths
Stop Codon Ratio

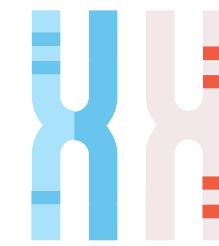
	ACCURACY	PRECISION	RECALL	F1-SCORE
RF	0.8904	0.8969	0.7796	0.8341
XG-BOOST	0.7124	0.5683	0.7776	0.6566
MLP	0.7193	0.6417	0.4670	0.5406

FEATURES IMPORTANCE

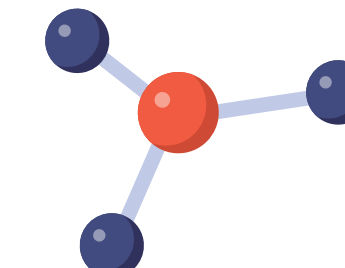
Studio dell'**explainability** del modello, per identificare le features che hanno avuto **più impatto** sulle scelte



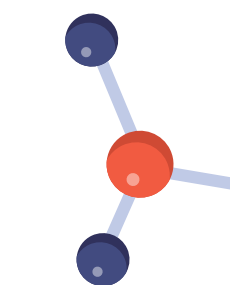
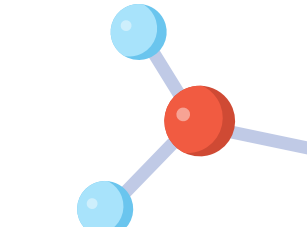
CONCLUSIONI E SVILUPPI FUTURI



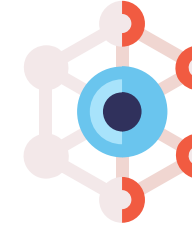
Superiorità delle **features strutturali** e dei modelli **tree-based**



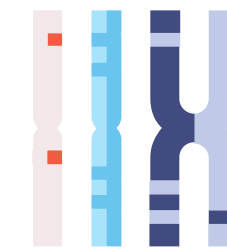
Successo del **modello ibrido**



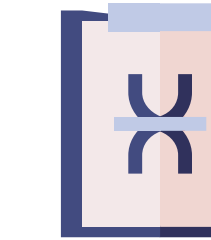
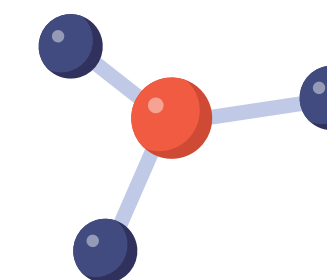
Limiti delle reti neurali su pattern strutturali



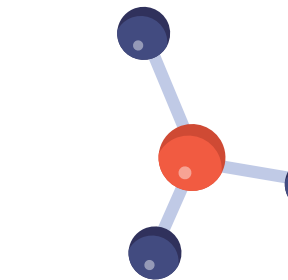
CONCLUSIONI E SVILUPPI FUTURI



Studio approfondito
delle **varianti della BWT**



Validazione su **dataset
patologici**



GRAZIE!

DO YOU HAVE ANY QUESTIONS?

C.CALABRESE31@STUDENTI.UNISA.IT
D.DELLORUSSO1@STUDENTI.UNISA.IT

CREDITS: This presentation template was created by [Slidesgo](#), and includes icons by [Flaticon](#), and infographics & images by [Freepik](#)

Please keep this slide for attribution



FLaTN²BIO